

Corrigé DM Physique

①

Étude atome Hydrogène

I J

1) Ref galiléen = Ref dans lequel le princ. d'inertie s'applique.

Modèle idéal \Rightarrow il n'existe pas de ref. rigoureusement galiléen.

Approx galiléen \Rightarrow [• Ref terrestre (Durée $\ll 24h$)
• Ref géocentrique (Durée $\ll 1\text{ an}$)
• Ref héliocentrique (" $\ll 225 \text{ millions d'années}$)

⚠ Ne pas dire "Pour des durées assez courtes" mais plutôt correct!
préciser devant quoi on les compare!

2). \mathcal{R}^* \rightarrow référentiel barycentrique : ref dans lequel le barycentre du système est immobile.

⚠ Ne pas confondre "référentiel" et "repère"; le ref une fois choisi, on peut choisir un repère attaché à ce dernier dans lequel le point d'origine est le barycentre... ou pas!

$$\text{Ainsi } \vec{v}_G^* = \frac{m_e \vec{v}_e + m_p \vec{v}_p}{m_e + m_p} = \vec{0}$$

• Aucune raison à \mathcal{R}^* d'être galiléen en général. Cependant, le système {proton + électron} est isolé ici. Si on décrit la dynamique dans un ref \mathcal{R} galiléen alors :

$$\left\{ \begin{array}{l} m_e \frac{d\vec{v}_e}{dt} \Big|_{\mathcal{R}} = \vec{F}_{p \rightarrow e} \\ m_p \frac{d\vec{v}_p}{dt} \Big|_{\mathcal{R}} = \vec{F}_{e \rightarrow p} = -\vec{F}_{p \rightarrow e} \end{array} \right.$$

$$\text{Donc } \frac{d}{dt} (m_e \vec{v}_e + m_p \vec{v}_p) \Big|_{\mathcal{R}} = 0 \Rightarrow \vec{v}_G \Big|_{\mathcal{R}} = \frac{m_e \vec{v}_e + m_p \vec{v}_p}{m_e + m_p} = \vec{0}$$

Ainsi, on passe de \mathcal{R} dans lequel $\vec{v}_{G|\mathcal{R}} = \vec{0}$ à \mathcal{R}^* dans lequel $\vec{v}_{G|\mathcal{R}^*} = \vec{0}$ par une mouvement rectiligne et uniforme $\Rightarrow \mathcal{R}^*$ est donc galiléen.

3). On se place ici dans un repère ayant pour origine le barycentre : (ce qui n'est pas obligatoire) ; alors :

$$\overrightarrow{OG} = \frac{m_e \overline{r}_e^* + m_p \overline{r}_p^*}{m_e + m_p} = 0 \Rightarrow \begin{cases} \overline{r}_e^* = -\frac{m_p}{m_e} \overline{r}_p^* \\ \overline{r}_p^* = -\frac{m_e}{m_p} \overline{r}_e^* \end{cases}$$

On introduit $\boxed{\overline{r} = \overline{r}_e - \overline{r}_p}$

→ on montre facilement que $\begin{cases} \overline{r}_e^* = \frac{m_p}{m_e + m_p} \overline{r} \\ \overline{r}_p^* = -\frac{m_e}{m_e + m_p} \overline{r} \end{cases}$

[Note : si $O \neq G$; alors on aura que

$$\begin{cases} \overline{r}_e^* = \overrightarrow{OG} + \frac{m_p}{m_e + m_p} \overline{r} \\ \overline{r}_p^* = \overrightarrow{OG} - \frac{m_e}{m_e + m_p} \overline{r} \end{cases}$$

or \overrightarrow{OG} est dans le ref barycentrique ; elle ne se compare donc que comme une constante arbitraire.]

Or si on considère la dynamique à un ref galiléen.

$$\begin{cases} m_e \frac{d\overline{v}_e}{dt} = \overline{F}_{p \rightarrow e} \\ m_p \frac{d\overline{v}_p}{dt} = -\overline{F}_{p \rightarrow e} \end{cases} \Rightarrow \frac{d^2}{dt^2} (\overline{r}_e - \overline{r}_p) = \left(\frac{1}{m_e} + \frac{1}{m_p} \right) \overline{F}_{p \rightarrow e}$$

$$\Rightarrow \frac{m_e m_p}{m_p + m_e} \frac{d^2}{dt^2} \overline{r} = \overline{F}_{p \rightarrow e}$$

En notant $\mu = \frac{m_e m_p}{m_p + m_e}$ $\rightarrow \boxed{\mu \frac{d^2 \overline{r}}{dt^2} = \overline{F}_{p \rightarrow e}}$

Ainsi en étudiant la dynamique (fiction) se ramenant à une particule de position \overline{r} et de masse μ ; nous pouvons déduire \overline{r}_e^* et \overline{r}_p^* ; c'est-à-dire les trajectoires du système entier ds le ref. barycentrique.

- Si $m_e \ll m_p$ (on a $1000 \times m_e \approx m_p$) alors $\mu = \frac{1}{\frac{1}{m_e} + \frac{1}{m_p}} \approx m_e$ et $\overline{r}_p^* = \overline{0}$; $\overline{r}_e^* = \overline{r}$; la masse de la particule fictive se confond avec la masse de l'électron ; la position de la part. fict se confond avec la position de l'électron ds le ref barycentrique.

Puisque le ref barycentrique est galiléen , c'est lui que nous noterons R dans la suite .

4] Thm du moment cinétique en O appliqué à l'électron :

$$\frac{d\bar{L}_{r_0}}{dt} \Big|_{\mathcal{R}} = \bar{J}_{r_0}(\bar{F}) = \vec{0} \quad \text{car la seule force qui s'exerce est centrale.}$$

$$\rightarrow \bar{L}_{r_0} = \text{const.}$$

- Or $\bar{L}_{r_0} = \vec{r} \wedge m\vec{v}$ \vec{r} et \vec{v} sont dans un plan perpendiculaire à \bar{L} .
→ la particule reste donc dans ce plan.

$\sim r\dot{\theta}$

$$d\theta = \frac{r^2 d\theta}{2} \Rightarrow$$

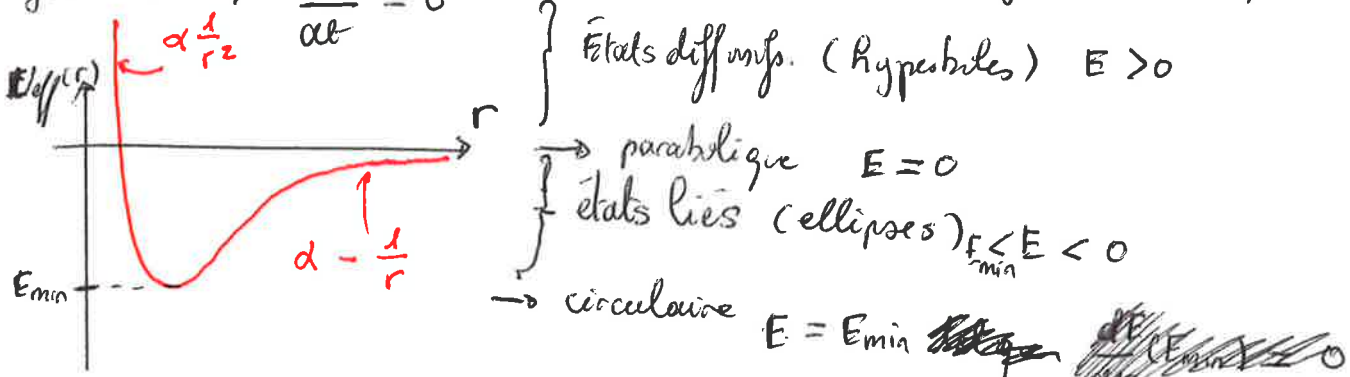
$$\frac{d\theta}{dt} = \frac{r^2 \ddot{\theta}}{2} \quad \text{et } \bar{L}_{r_0} = \overline{mr\vec{v}_r \wedge (\vec{r}\vec{v}_r + r\dot{\theta}\vec{u}_\theta)} \\ = mr^2\dot{\theta}\vec{u}_z \\ = \frac{\|\bar{L}\|}{2m} = \text{const.} \quad \|\bar{L}_{r_0}\| = mr^2\dot{\theta} = \text{const.}$$

→ Vitesse circonlaire constante

5] $E = \frac{1}{2}mv^2 - \frac{k}{r} = \frac{1}{2}m\dot{r}^2 + \frac{1}{2}mr^2\dot{\theta}^2 - \frac{k}{r} \quad \text{or } L^2 = m^2r^4\dot{\theta}^2$

$$E = \frac{1}{2}m\dot{r}^2 + \underbrace{\left[\frac{L^2}{2mr^2} - \frac{k}{r} \right]}_{V_{eff}(r)}$$

• Pas de force non conservatrice → D'après le thm de l'énergie méca appliquée au système. ⇒ $\frac{dE}{dt} = 0$



6] Symétrie du syst par translation du temps ⇒ conservation de \bar{E}
 rotation autour de O ⇒ \bar{L}

7] $\frac{d\vec{A}}{dt} = \underbrace{\frac{d\vec{P}}{dt} \wedge \vec{L}}_{= -\frac{K}{r^2} \vec{u}_r} + \vec{P} \wedge \underbrace{\frac{d\vec{L}}{dt}}_{= \vec{0}} - \underbrace{\frac{m/e^2}{4\pi e_0} \frac{d\vec{u}_r}{dt}}_{= K} \vec{u}_\theta$

 $= -\frac{K}{r^2} \vec{u}_r - m k \dot{\theta} \vec{u}_\theta$

or $L = mr^2\dot{\theta}$ donc $\frac{dL}{dt} = mkr\dot{\theta}\vec{u}_\theta - mkr\vec{u}_\theta = \vec{0}$

8] $\vec{A} \cdot \vec{r} = Ar \cos\theta$ (par déf de θ : angle entre \vec{r} et l'axe qui porte \vec{A} que l'on notera donc O_x)

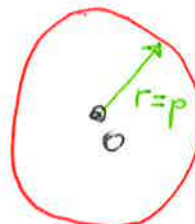
$$\begin{aligned} &= (\vec{P} \wedge \vec{L}) \cdot \vec{r} - mkr \\ &= [m(r\vec{u}_r + r\dot{\theta}\vec{u}_\theta) \wedge L\vec{u}_z] \cdot \vec{r} - mkr = m r^2 \dot{\theta} L - mkr \\ &\quad = L^2 - mkr \end{aligned}$$

Donc $r(A \cos\theta + mk) = L^2 \Rightarrow r(\theta) = \frac{L^2}{mkr}$

on notera $p = \frac{L^2}{mkr}$ et $e = \frac{\theta}{mk}$

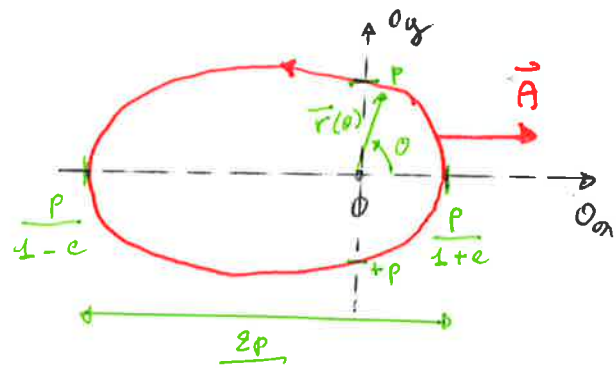
9] $e = 0 \Rightarrow r(\theta) = p = \text{constante}$ cercle

$(\vec{A} = \vec{0})$
 \hookrightarrow il n'y a pas d'axe O_x privilégié.



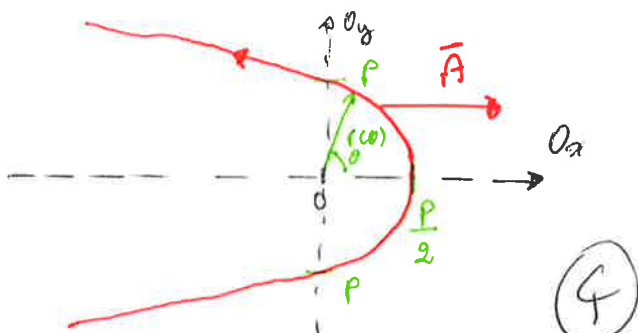
$0 < e < 1 \Rightarrow r(\theta) = \frac{p}{1+e\cos\theta} \rightarrow$ ne dirige jamais

ellipse



$e = 1 \Rightarrow r(\theta) = \frac{p}{1+e\cos\theta} \rightarrow$ diverge pour $\theta = \pi$

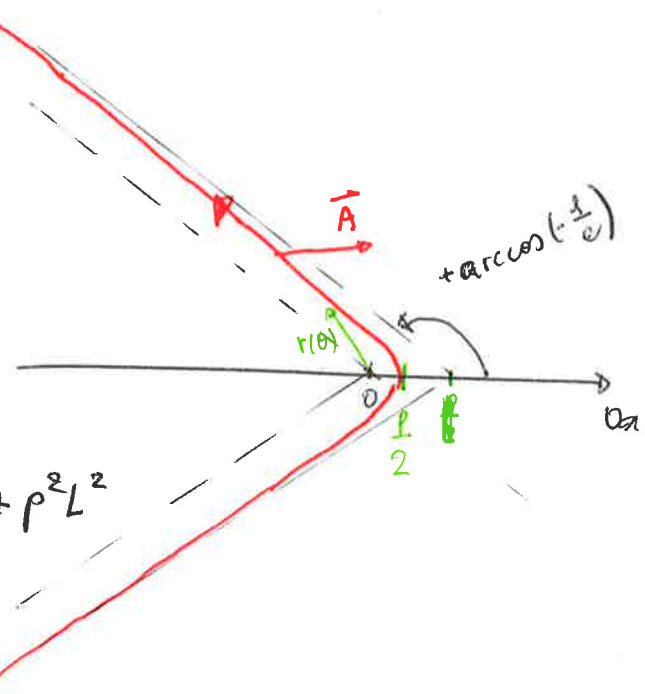
parabole



4

$$e \geq 1 \Rightarrow r(\theta) = \frac{p}{1 + e \cos \theta} \rightarrow \text{divergence pour } \theta = \pm \arccos\left(-\frac{1}{e}\right)$$

Hyperbole



$$\underline{10} \quad \|\vec{A}\|^2 = m^2 k^2 - 2mk (\vec{p} \wedge \vec{L})_{\frac{1}{\epsilon}} + \|\vec{p} \wedge \vec{L}\|^2$$

$$\begin{aligned} &= m^2 k^2 - 2mk \left[(\vec{r} \cdot \vec{u}_x + r \dot{\theta} \vec{u}_y) \wedge \vec{L} \cdot \vec{u}_z \right] \cdot \vec{e}_r + p^2 L^2 \\ &= m^2 k^2 - \frac{2mk L^2}{r} + p^2 L^2 \\ &= m^2 k^2 + \underbrace{L^2 \times 2m}_{E} \left(-\frac{k}{r} + \frac{p^2}{2m} \right) \end{aligned}$$

$$\boxed{\vec{A}^2 = 2mL^2 E + m^2 k^2} \quad E$$

$$e^2 - 1 = 2 \frac{L^2}{mk^2} E \Rightarrow E = \frac{mk^2}{2L^2} (e^2 - 1)$$

$e < 1 \Rightarrow E < 0 \rightarrow \text{ellipse / étais liés}$

$e = 1 \Rightarrow E = 0 \rightarrow \text{parabole}$

$e > 1 \Rightarrow E > 0 \rightarrow \text{hyperbole / diffusif}$

$e = 0 \Rightarrow E = -\frac{mk^2}{2L^2} = E_{\min} \text{ circulaire}$

$$\underline{11} \quad \vec{L} \wedge \vec{A} = LA \vec{u}_y = \vec{L} \wedge (\vec{p} \wedge \vec{L}) - mk \underbrace{(\vec{L} \wedge \vec{e}_r)}_{\vec{L} \cdot \vec{u}_y}$$

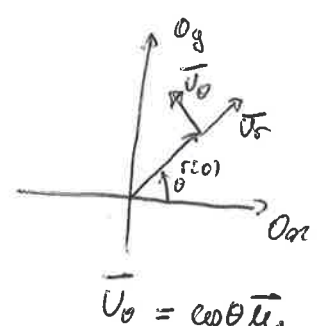
$$LA \vec{u}_y = L^2 \vec{p} - mk L \vec{u}_y$$

$$\left\{ \begin{array}{l} \textcircled{1} \quad P_x = L^2 p_x + mk L \sin \theta \\ LA = L^2 p_y - mk L \cos \theta \end{array} \right.$$

$$\left\{ \begin{array}{l} P_x = -\frac{mk}{L} \sin \theta \\ p_y - \frac{A}{L} = +\frac{mk}{L} \cos \theta \end{array} \right.$$

$$\rightarrow P_x^2 + \left(p_y - \frac{A}{L} \right)^2 = \left(\frac{mk}{L} \right)^2$$

cercle de centre $(0, \frac{A}{L})$ et de rayon $\frac{mk}{L}$



(5)

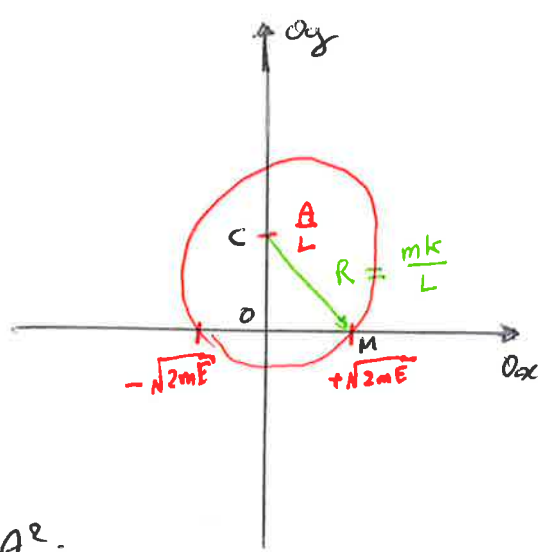
12 $P_y = 0 \Rightarrow P_x^2 = \left(\frac{mk}{L}\right)^2 - \left(\frac{A}{L}\right)^2$

$$P_x = \pm \sqrt{2mEI}$$

on a $A^2 = 2mEL^2 + m^2k^2$

$$DC \cdot \left(\frac{A}{L}\right)^2 = 2mE + \left(\frac{mk}{L}\right)^2$$

$$\rightarrow CO^2 = OM^2 + R^2.$$



13 On utilise pour cela l'équation de A^2 :

$$A^2 = 2mEL^2 + m^2k^2$$

↓ différentiation

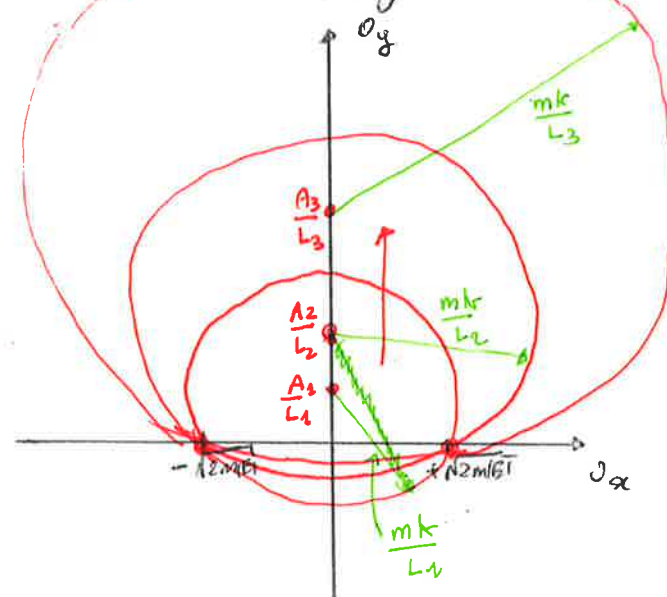
$$2A dA = 2mL^2 dE + 4mELdL$$

On veut une variation infinitésimale de L (transf continu) à E constant
Donc on pose $dE = 0$ ↓

$$2A dA = 4mELdL.$$

Cette équation ne dit pas autre chose qu'il est possible de varier continument le moment cinétique L à énergie constante moyennant une déformation non triviale de la trajectoire (c.-à-d une variation de L , liée par l'éq à une variation de A ; qui sont tous 2 liés au paramètre et l'excentricité de l'ellipse, donc lié à une déformation de la trajectoire).

Cette déformation continue de la trajectoire gardant E constant tout en faisant varier A et L de constant s'observe intuitivement dans l'Rodographie où "E constant" signifie "même valeur de P_x où $P_y = 0$ " et où "L et A varie" signifie "changement du centre du cercle et de son rayon".



(6)

Point de vue quantique

1] $\vec{L} = \vec{r} \wedge \vec{p} = m r_n v_n = n \hbar \quad (1)$

2] $m a_n = \frac{k}{r_n^2} \xrightarrow{\substack{\text{mvt} \\ \text{circulaire}}} m \frac{v_n^2}{r_n} = \frac{k}{r_n^2} \Rightarrow m r_n v_n^2 = k \quad (2)$

3] $\frac{(2)}{(1)} \Rightarrow v_n = \frac{k}{n \hbar}$; substitution dans (1) : $m r_n \frac{k}{n \hbar} = n \hbar \rightarrow r_n = \frac{(n \hbar)^2}{m k}$

L'énergie s'exprime $E = \frac{1}{2} m v_n^2 - \frac{k}{r_n}$

or l'éq (2) montre que $\frac{1}{2} m v_n^2 = \frac{k}{2 r_n} = -\frac{1}{2} E_p$

Donc $E_n = +\frac{1}{2} E_p = -\frac{k}{2 r_n} = -\frac{m k^2}{2 \hbar^2 n^2}$

On a donc

$$\left\{ \begin{array}{l} r_1 = 0,53 \text{ \AA} = \text{rayon de Bohr} \\ v_1 = 2,19 \cdot 10^6 \text{ m.s}^{-1} \\ E_1 = -2,18 \cdot 10^{-18} \text{ J} = -13,6 \text{ eV} \\ E_2 = 3,4 \text{ eV} \\ E_3 = 1,51 \text{ eV} \end{array} \right.$$

$$\left\{ \begin{array}{l} r_2 = 2,11 \text{ \AA} ; r_3 = 4,76 \text{ \AA} \\ v_2 = 1,09 \cdot 10^6 \text{ m.s}^{-1} ; v_3 = 0,73 \cdot 10^6 \text{ m.s}^{-1} \end{array} \right.$$

A) Il est important de retenir ces ordres de grandeur, ou du moins, de savoir les retrouver rapidement. (Cela permet par exemple de justifier l'hypothèse de l'électron non relativiste du modèle de l'électron élastique.)

4] $E = \frac{m k^2}{2 L^2} (\frac{e^2}{r} - \frac{1}{r^2}) \rightarrow \left[\begin{array}{l} \text{circulaire} \Rightarrow e=0 \\ \text{quantification} \Rightarrow L = n \hbar \end{array} \right] \rightarrow E = -\frac{m k^2}{2 \hbar^2 n^2}$

5] l'électron tourne \Rightarrow l'électron déroule rayonner
 \Rightarrow l'électron déroule perte d'énergie
 \Rightarrow il devrait éponger sur le noyau.

Donc non.

Tout est cohérent !

61 (Note : "quel nombre quantifie \hat{L}^2 " plutôt)

- La norme de $\|\hat{L}\|$ est plutôt quantifiée par P dans un modèle plus élaboré :
- $$\hat{L}^2 |n, p, m\rangle = \hbar^2 p(p+1) |n, p, m\rangle. \text{ et ne dépend pas de } n \text{ contrairement à Bohr.}$$
- L'énergie, elle, est toujours exprimée par $E_n = -\frac{mk^2}{2\hbar^2 n^2}$; mais n a un tout autre sens, car il n'est pas du tout lié au moment cinétique. Ainsi l'énergie ne dépend pas de la valeur du moment cinétique, alors non elle devrait dépendre de P .
- Cela aurait pu se prévoir en observant le pb classique. En effet, si les symétries en mécanique classique engendrent des invariances de certaines quantités, ces mêmes symétries engendrent des dégénérescences en méca. quant. lorsqu'on quantifie le pb.
- On peut comprendre cela qualitativement avec l'exemple de la symétrie de rotation autour de O (symétrie centrale) ; une rotation continue d'une certaine orbite de l'électron autour de O ne change pas du tout le problème. Cela se constate trivialement car l'expression de E classique ne dépend que de la norme de \hat{L} et non de sa direction. La direction de \hat{L} étant associée à l'opérateur \hat{L}_z dans le pb quantique et E à l'opérateur \hat{H} . Le principe de correspondance impose que les valeurs propres de \hat{H} (c'est à dire E_n) ne dépendent pas des valeurs propres de \hat{L}_z (c'est à dire $\hbar m$). On constate donc la dégénérescence des sous-niveaux m qui ont la même énergie : E_n ne dépend pas de m .
- La dégénérescence en P de l'énergie est bcp plus étonnante, car l'énergie classique dépend explicitement de la norme de \hat{L} . Cependant, l'analogie du pb au montre qu'il est en fait possible de subtillement definir une certaine orbite de l'électron, en gardant E constant, et en passant à des valeurs de \hat{L}^2 que l'on souhaite. Puisque E ne fixe absolument pas $\|\hat{L}\|^2$ par le même principe de correspondance, on comprend que les vp de \hat{H} n'ont donc pas à dépendre des vp de \hat{L}^2 , soit $P \rightarrow E_n$ ne dépend pas de P .

Bref,

Tout cela pour vous dire qu'il faut s'émerveiller qu'un modèle aussi faux que celui de Bohr donne des résultats aussi justes... !

Thm Larmor :

1] PFD dans \mathcal{R} galiléen : $m \frac{d\vec{v}}{dt}|_{\mathcal{R}} = -\frac{k}{r^2} \vec{u}_r - e\vec{v} \wedge \vec{B}$.

2] " \mathcal{R}' en rotation par rapport à \mathcal{R} à $\vec{\Omega}$ constant : $m \frac{d\vec{v}}{dt}|_{\mathcal{R}'} = -\frac{k}{r^2} \vec{u}_r - e\vec{v} \wedge \vec{B} + 2m\vec{\Omega} \wedge \vec{v}$
 $- m\vec{\Omega} \wedge (\vec{\Omega} \wedge \vec{v})$

Donc $m \frac{d\vec{v}}{dt}|_{\mathcal{R}'} = -\frac{k}{r^2} \vec{u}_r + \vec{v} \wedge \underbrace{(-e\vec{B} + 2m\vec{\Omega})}_{= \vec{0} \text{ si } \boxed{\vec{\Omega} = \frac{e}{2m} \vec{B}} - m\vec{\Omega} \wedge (\vec{\Omega} \wedge \vec{v})$

Dc dans \mathcal{R}' en rotation de $\vec{\Omega} = \frac{e}{2m} \vec{B}$ ($\|\vec{\Omega}\| \approx 8,79 \cdot 10^{10} \text{ rad.s}^{-1}$ à 1 T)
 $m \frac{d\vec{v}}{dt}|_{\mathcal{R}'} = -\frac{k}{r^2} \vec{u}_r - m\vec{\Omega} \wedge (\vec{\Omega} \wedge \vec{v})$

3] on utilise $r = 0,52 \text{ Å} = 0,52 \cdot 10^{-10} \text{ m}$.

$$\left\| \frac{k}{r^2} \right\| = 8,25 \cdot 10^{-8} ; \quad \left\| m\vec{\Omega} \wedge (\vec{\Omega} \wedge \vec{v}) \right\| = \Omega^2 r^2 = 3,72 \cdot 10^{-19}$$

Dc $\left\| \frac{k}{r^2} \right\| \gg \left\| m\vec{\Omega} \wedge (\vec{\Omega} \wedge \vec{v}) \right\| \rightarrow \boxed{m \frac{d\vec{v}}{dt}|_{\mathcal{R}'} = -\frac{k}{r^2} \vec{u}_r}$

La dynamique dans \mathcal{R}' se réduit à celle dans \mathcal{R} .

4] L'orbite garde exactement la même forme auquel se superpose simplement une rotation $\vec{\Omega}$ selon $\vec{e}_z \Rightarrow \underline{\text{mt de précession}}$.

5] si \vec{v}_0 est la vitesse initiale : l'électron subira une accélération après application de \vec{B} : $\vec{a} = \vec{v}_0 + \vec{\Omega} r \vec{u}_0 \rightarrow \Delta \vec{m} = \vec{m} - \vec{m}_0 = -\frac{e}{2} \vec{F}_1 \wedge (\vec{a}_0 + \vec{\Omega}_1) \vec{u}_0 + \frac{e}{2} \vec{F}_1 \vec{v}_0$

Bref $\Delta \vec{m} = -\frac{er_1^2 \vec{\Omega}}{2} \vec{u}_z = -\frac{e^2 r_1^2}{4m} B \vec{e}_z = \boxed{-\frac{e^2 r_1^2}{4m} \vec{B}}$

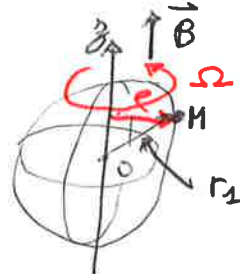
6]. $\Delta \vec{m}$ est de sens opposé à $\vec{B} \rightarrow$ il s'agit d'une loi de modération ; les effets s'opposent aux causes qui leur ont donné naissance.

$$\|\Delta \vec{m}\| = 1,97 \cdot 10^{-29} \text{ A.m}^{-1}$$

Il s'agit du phénomène de diamagnétisme.

NB: un électron n'a pas de raison d'être sur une orbite où $\vec{L} \parallel \vec{B}$. (9)

un modèle plus réaliste peut être facilement proposé en considérant que l'électron s'étale en moyenne sur une sphère de rayon r_1 .



Un point M sur la sphère procédera autour de O_3 à la pulsation Ω ; donc aura un gain de vitesse $\rho \Omega \vec{v}_0$ avec ρ la ~~la~~ distance à l'axe O_3 ; doit créer une aimantation

$$\Delta \vec{m} = -\frac{\epsilon^2 + \rho^2}{4m} \vec{B}$$

Or $OM^2 = x^2 + y^2 + z^2$ et $\rho^2 = x^2 + y^2$; si l'étalement est homogène $\langle x^2 \rangle = \langle y^2 \rangle = \langle z^2 \rangle$

Donc $r_1^2 = 3 \langle x^2 \rangle$ et $\langle \rho^2 \rangle = 2 \langle x^2 \rangle$

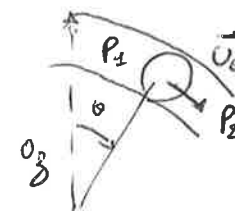
$$\text{D'où } \langle \rho^2 \rangle = \frac{2}{3} r_1^2$$

Ainsi $\boxed{\langle \Delta \vec{m} \rangle = -\frac{\epsilon^2 r_1^2}{6m} \vec{B}}$; l'ordre de grandeur reste le même !

Une référence de ce calcul peut-être trouvée dans le Bertrand, Faroux Renault, Electromagnétisme tome 4.

BiFurcation (Exercice tiré du problème de physique 2016.)

1) $\vec{F}_{\text{premion}} = d(P_1 - P_2) \vec{M}_0$



or $P_1 = \frac{(1)RT}{V_0 + Ld\theta}$ $P_2 = \frac{RT}{V_0 - Ld\theta}$

$$\begin{cases} P_1 = \frac{RT}{V_0} \left(1 + \frac{Ld\theta}{V_0} \right)^{-1} \approx \frac{RT}{V_0} \left(1 - \frac{Ld\theta}{V_0} \right) \\ P_2 = \frac{RT}{V_0} \left(1 - \frac{Ld\theta}{V_0} \right)^{-1} \approx \frac{RT}{V_0} \left(1 + \frac{Ld\theta}{V_0} \right) \end{cases}$$

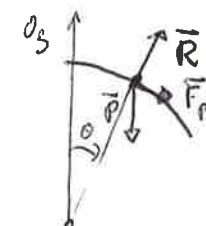
$\rightarrow \vec{F}_{\text{premion}} = -2 \frac{RT L d\theta^2}{V_0^2} \vec{\theta} \vec{M}_0 = -\alpha T \vec{\theta} \vec{M}_0$ avec

$$\boxed{\alpha = 2 \frac{RLd^2}{V_0^2}}$$

3) Bilan de force : Poids ; réaction du tube ; force de premion

$$m \frac{d\vec{v}}{dt} = -mg \vec{e}_z + \vec{R} - \alpha T \vec{\theta} \vec{M}_0$$

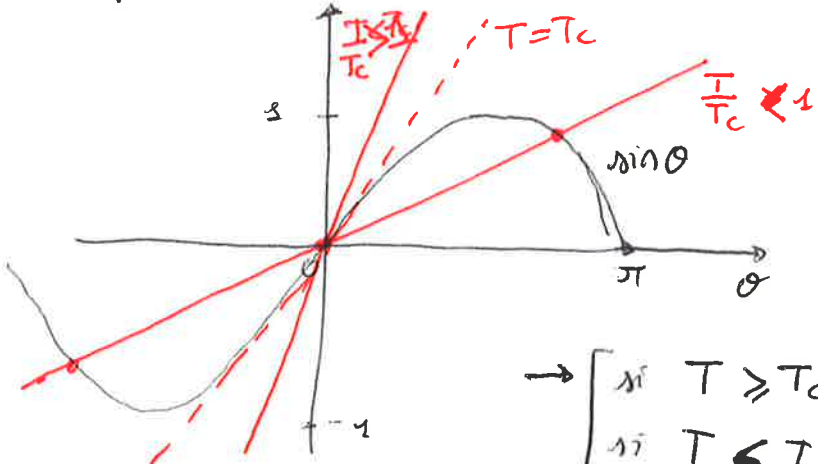
on a $\vec{v} = L \dot{\theta} \vec{M}_0 \rightarrow m \frac{d\vec{v}}{dt} = mL \ddot{\theta} \vec{M}_0$



De projection sur \vec{M}_0 : $mL \ddot{\theta} = mg \sin \theta - \alpha T \theta$

(1D)

3] équilibre : $\ddot{\theta} = 0 \rightarrow \sin\theta_{eq} = \frac{\alpha T}{mg} \theta_{eq} = \frac{T}{T_c} \theta_{eq}$ avec $T_c = \frac{mg}{\alpha}$



$$\rightarrow \begin{cases} \text{i) } T > T_c \text{ alors 1 position dég: } \theta_{eq} = 0 \\ \text{ii) } T < T_c \text{ alors 3 positions dég: } \pm \theta_0 \text{ et } 0 \end{cases}$$

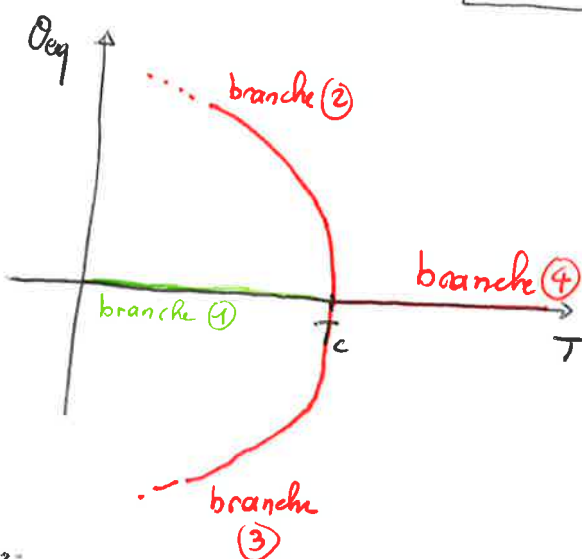
4] On considère les positions d'équilibres non nulles pour $T < T_c$: θ_0 .
On sait que $\theta_0 \rightarrow 0$ lorsque $T \rightarrow T_c^-$:

$$\sin\theta_0 \underset{T \rightarrow T_c^-}{\approx} \theta_0 - \frac{\theta_0^3}{6} \Rightarrow \theta_0 - \frac{\theta_0^3}{6} = \frac{T}{T_c} \theta_0$$

$$\Rightarrow 1 - \frac{\theta_0^2}{6} = \frac{T}{T_c}$$

$$\Rightarrow \boxed{\theta_0 = \sqrt{\frac{6}{T_c}} \sqrt{T_c - T}}$$

5]



On a $\dot{\theta}_0 = A \dot{\theta}_0$

($\dot{\theta}_0$ diverge si $A > 0$ et reste borné si $A < 0$.)

$$\text{Pour } \theta_0 = 0 \rightarrow \dot{\theta}_0 = \frac{\theta_0}{L} \left(1 - \frac{T}{T_c} \right) \dot{\theta}_0$$

> 0 si $\frac{T}{T_c} < 1 \rightarrow$ branche ① instable

< 0 si $\frac{T}{T_c} > 1 \rightarrow$ branche ② stable. (11)

On reprend l'éq de la question 3) et on considère une petite perturbation autour d'un équilibre θ_0 : $\theta = \theta_0 + \delta\theta$

$$mL\ddot{\theta} = mg \sin\theta - \alpha T\theta$$

$$mL\ddot{\theta} = mg \sin\theta_0 + mg \cos\theta_0 \delta\theta - \alpha T\theta_0 - \alpha T\delta\theta$$

$$mL\ddot{\theta} = mg \left(\cos\theta_0 - \frac{T}{T_c} \right) \delta\theta$$

$$\left. \ddot{\theta} = \frac{\delta}{L} \left(\cos\theta_0 - \frac{T}{T_c} \right) \delta\theta \right\}$$

Pour θ_0 sur la branche (2) et (3) ~~on a~~

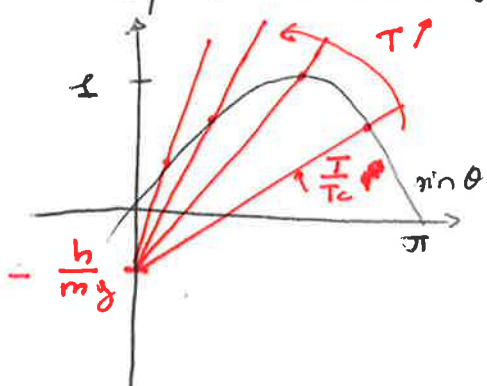
$$\cos \theta_0 = \frac{1 - \frac{\theta_0^2}{2}}{T/T_c} = 1 - \frac{l}{2} \left(\frac{b}{T_c} (T_c - T) \right) = 1 + 3 \frac{T}{T_c} - 3 = -2 + 3 \frac{T}{T_c}$$

$$\cos \theta_0 - \frac{T}{T_c} = 2 \left(\frac{T}{T_c} - 1 \right) < 0 \text{ si } T < T_c$$

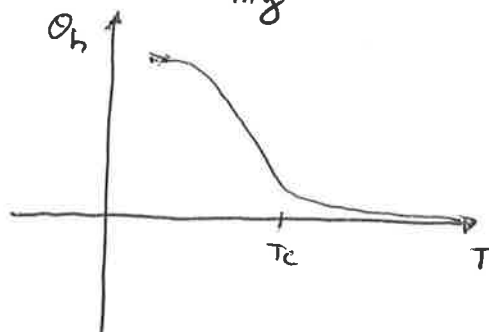
→ branche (2) et (3) stable

6) l'équation 3) se réécrit : on $L\ddot{\theta} = mg \sin \theta - aT\theta + b$.

D'où équation de stabilité :



$$m\sin \theta = \frac{I}{T_c} \theta - \frac{b}{mg}$$



7) on a $\theta_h = \theta_0 + \Delta\theta \rightarrow \sin \theta = \sin \theta_0 + \cos \theta_0 \Delta\theta = \frac{T}{T_c} \theta_0 + \frac{T}{T_c} \Delta\theta - \frac{b}{mg}$

$$\text{on a } \frac{\partial \theta_h}{\partial h} = \frac{\partial \Delta\theta}{\partial h} \text{ et } \Delta\theta = \frac{b/mg}{T/T_c - \cos \theta_0}$$

1^{er} cas : $T \rightarrow T_c$; alors $\theta_0 = 0$:

$$\Delta\theta = \frac{b/mg}{T/T_c - 1} \rightarrow \boxed{\chi^+ = \frac{1}{mg} \frac{T_c}{T - T_c}}$$

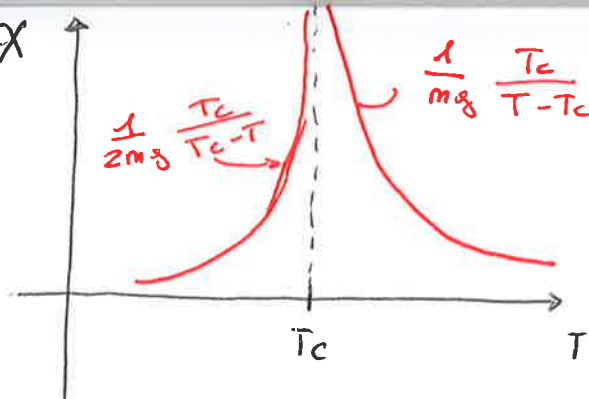
2^{ème} cas : $T \rightarrow T_c$; alors $\theta_0 \sim \sqrt{\frac{b}{T_c}} \sqrt{T_c - T}$

$$\cos \theta_0 \sim 3 \frac{I}{T_c} - 2 \text{ donc } \Delta\theta = \frac{b/mg}{2(1 - \frac{I}{T_c})}$$

$$\boxed{\chi^- = \frac{1}{2mg} \frac{T_c}{T_c - T}}$$

Note : χ^- et χ^+ sont portés. Plusieurs m'ont demandé une susceptibilité négative qui signifierait qu'une poussée à droite équilibrerait l'objet à gauche.

Astuce pour éviter les pbs : éviter de manipuler des valeurs absolues (et ce même si un énoncé méchant vous dit de présenter vos résultats avec...) (12)



8] ~~On + D_R + mg~~

$$\sin \theta = \theta - \frac{h}{mg} \rightarrow \theta_n \leftarrow \frac{\theta_n^3}{6} = \theta_R - \frac{h}{mg}$$

D'où $\theta_n^3 = \frac{6h}{mg} \rightarrow \boxed{\theta_R = \left(\frac{6h}{mg} \right)^{1/3}} \quad \underline{s=3}$

Méca solide

Préliminaire : c'est juste du cours !

Mvt d'un solide dans le vide

1] PFD dans R galiléen $\frac{d\vec{L}}{dt}|_R = \vec{o}$ ↗ solide isolé

2] $\frac{d\vec{L}}{dt}|_{R'} + \vec{\omega} \wedge \vec{L}|_{R'} = \vec{o}$ avec $\vec{L}_{R'} = \begin{pmatrix} I_x' \omega_x' \\ I_y' \omega_y' \\ I_z' \omega_z' \end{pmatrix} \begin{pmatrix} \omega_x \\ \omega_y \\ \omega_z \end{pmatrix}$
 valeur rotation instantanée du solide
 et rotation de R' à R.

$$\frac{d}{dt} \begin{pmatrix} I_x' \omega_x' \\ I_y' \omega_y' \\ I_z' \omega_z' \end{pmatrix} + \begin{pmatrix} \omega_x \\ \omega_y \\ \omega_z \end{pmatrix} \wedge \begin{pmatrix} I_x' \omega_x' \\ I_y' \omega_y' \\ I_z' \omega_z' \end{pmatrix} = \vec{o}$$

$$\boxed{\begin{cases} I_x \ddot{\omega}_x + (I_3' - I_2') \omega_y \omega_z = 0 \\ I_y \ddot{\omega}_y + (I_2' - I_1') \omega_x \omega_z = 0 \\ I_z \ddot{\omega}_z + (I_1' - I_2') \omega_y \omega_x = 0 \end{cases}}$$

$$3) \begin{cases} I_{x'} = I_{y'} = I \\ I_{z'} = I' \end{cases}$$

Donc $I_{z'} \ddot{\omega}_{z'} + (I_{y'} - I_{z'}) \omega_{z'} \omega_{y'} = 0$
 $\rightarrow \ddot{\omega}_{z'} = 0 \Rightarrow \boxed{\omega_{z'} = \text{ct}}$

$$4) \begin{cases} \ddot{\omega}_x + \frac{I' - I}{I} \omega_{z'} \omega_{y'} = 0 \\ \ddot{\omega}_y + \frac{I - I'}{I} \omega_{z'} \omega_{x'} = 0 \end{cases} \Rightarrow \begin{cases} \ddot{\omega}_x + \left(\frac{I' - I}{I} \omega_{z'} \right)^2 \omega_x = 0 \\ \ddot{\omega}_y + \left(\frac{I - I'}{I} \omega_{z'} \right)^2 \omega_y = 0 \end{cases}$$

$$\omega_x = A \cos(\Omega t) + B \sin(\Omega t)$$

$$\omega_y = A' \cos(\Omega t) + B' \sin(\Omega t)$$

On prend comme condition initiale $\omega_x(0) = \omega_0, \omega_y(0) = 0$

$$\rightarrow \begin{cases} \omega_x = \omega_0 \cos(\Omega t) + B \sin(\Omega t) \\ \omega_y = B' \sin(\Omega t) \end{cases}$$

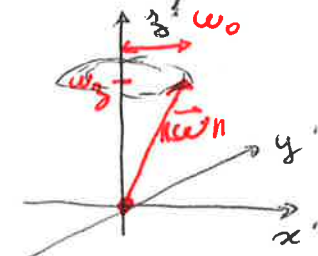
$$\ddot{\omega}_x + \frac{I' - I}{I} \omega_{z'} \omega_{y'} = 0 \Rightarrow B' = \omega_0$$

$$\text{pt } \| \vec{\omega} \|^2 = \text{ct} \Rightarrow B = 0$$

$$\omega_x^2 + \omega_y^2 = \omega_0^2$$

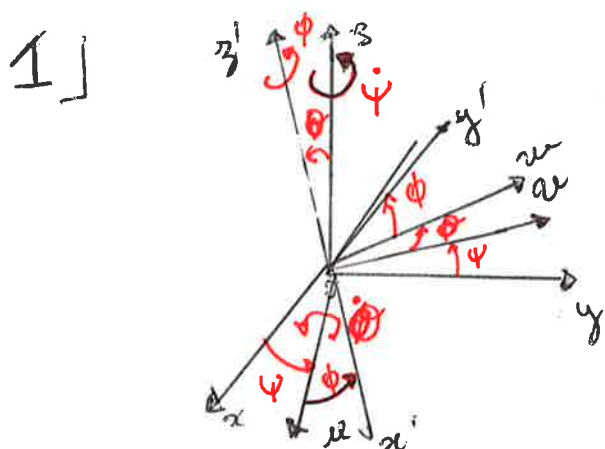
\rightarrow

$\vec{\omega}$ précesse à la pulsation $\vec{\Omega}$.



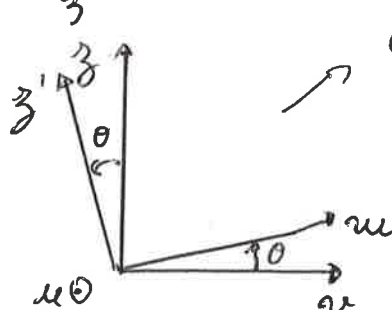
$$\begin{cases} \omega_x = \omega_0 \cos(\Omega t) \\ \omega_y = \omega_0 \sin(\Omega t) \end{cases}$$

Mvt d'une toupie déséquilibrée



$$2) \vec{\Omega} = \dot{\psi} \vec{e}_z + \dot{\theta} \vec{e}_x + \dot{\phi} \vec{e}_y$$

$$3) \begin{cases} \vec{e}_x = \cos \phi \vec{e}_x' - \sin \phi \vec{e}_y' \\ \vec{e}_y = \cos \phi \vec{e}_y' + \sin \phi \vec{e}_x' \end{cases}$$



$$\vec{e}_z = \cos \theta \vec{e}_z' + \sin \theta \vec{e}_w$$

$$\text{D'où } \vec{e}_3 = \cos\theta \vec{e}_{3'} + \sin\theta \cos\phi \vec{e}_y + \sin\theta \sin\phi \vec{e}_x,$$

$$\text{et } \vec{\Omega} = \dot{\psi} (\cos\theta \vec{e}_{3'} + \sin\theta \cos\phi \vec{e}_y + \sin\theta \sin\phi \vec{e}_x) + \dot{\theta} (\sin\phi \vec{e}_x - \cos\phi \vec{e}_y) + \dot{\phi} \vec{e}_z.$$

$$\vec{\Omega} = \begin{pmatrix} \dot{\psi} \sin\phi \sin\theta + \dot{\theta} \cos\phi \\ \dot{\psi} \cos\phi \sin\theta - \dot{\theta} \sin\phi \\ \dot{\phi} + \dot{\psi} \cos\theta \end{pmatrix}$$

4] Répartition de masse symétrique selon $O_3' \rightarrow \begin{pmatrix} I & 0 & 0 \\ 0 & I & 0 \\ 0 & 0 & I_{3'} \end{pmatrix}$

Dans R' et dans R_i l'axe O_3' est aligné avec cet axe de symétrie.

5) $\vec{\Omega}_{R_i/R} = \vec{\Omega}_{R'/R} |_{\phi=0} = \begin{pmatrix} \dot{\theta} \\ \dot{\psi} \sin\theta \\ \dot{\psi} \cos\theta \end{pmatrix}_{R_i}$

$$\vec{\omega} = \vec{\Omega}_{R_i/R} + \dot{\phi} \vec{e}_{3'} = \begin{pmatrix} \dot{\theta} \\ \dot{\psi} \sin\theta \\ \dot{\psi} \cos\theta + \dot{\phi} \end{pmatrix}_{R_i}$$

6) $\frac{d\vec{L}}{dt} \Big|_{R_i} + \vec{\Omega}_{R_i/R} \wedge \vec{\omega} = \rho mg \cdot (\vec{u}_{3'} \wedge \vec{u}_3) = \rho mg \sin\theta \vec{u}_x,$

avec $\vec{L} = \underline{\underline{I}} \vec{\omega} = \begin{pmatrix} I_x \dot{\theta} \\ I_y \dot{\psi} \sin\theta \\ I_z \dot{\psi} \cos\theta + J_{3'} \dot{\phi} \end{pmatrix}$ avec $I_x = I_y = 0$.

$$\vec{\Omega}_{R_i/R} \wedge \underline{\underline{I}} \vec{\omega} = \begin{pmatrix} I_{3'} \dot{\psi}^2 \sin\theta \cos\theta + I_{3'} \dot{\psi} \dot{\phi} \sin\theta - I \dot{\psi}^2 \sin\theta \cos\theta \\ -I_{3'} \dot{\psi} \dot{\theta} \cos\theta - I_{3'} \dot{\theta} \dot{\phi} + I \dot{\theta} \dot{\psi} \cos\theta \end{pmatrix}$$

$$\frac{d\vec{L}}{dt} = \begin{pmatrix} I \ddot{\theta} \\ I \dot{\psi} \sin\theta + I \dot{\psi} \dot{\theta} \cos\theta \\ I_{3'} \dot{\psi} \cos\theta - I_{3'} \dot{\psi} \sin\theta + I \ddot{\phi} \end{pmatrix}$$

D'où

$$\left\{ \begin{array}{l} I \ddot{\theta} + (I_{3'} - I) \dot{\psi}^2 \sin\theta \cos\theta + I_{3'} \dot{\psi} \dot{\phi} \sin\theta = \rho mg \sin\theta \\ I \dot{\psi} \sin\theta + (2I - I_{3'}) \dot{\psi} \dot{\theta} \cos\theta - I_{3'} \dot{\theta} \dot{\phi} = 0 \\ \dot{\psi} \cos\theta - \dot{\psi} \dot{\theta} \sin\theta + \ddot{\phi} = 0 \end{array} \right.$$

7] Si $\dot{\phi} \gg \dot{\psi}, \dot{\theta}$ on se retrouve avec le système d'équations :

$$\left\{ \begin{array}{l} I_3 \ddot{\psi} \dot{\phi} = Pmg \sin \theta \quad (1) \\ I_3 \ddot{\theta} \dot{\phi} = 0 \quad (2) \\ \dot{\phi} = 0 \quad (3) \end{array} \right.$$

D'où $\dot{\phi} = \text{const}$ (3); de (2) on déduit $\dot{\theta} = 0 \Rightarrow \theta = \text{const}'$

et si on suppose que $\theta \neq 0$ initialement, on déduit de (1) :

$$\dot{\psi} = \frac{Pmg}{I_3 \dot{\phi}}$$

vitesse de précession de la toupie.

8] Plus simple : $\vec{L} = \begin{pmatrix} 0 \\ 0 \\ I_3 \dot{\phi} \end{pmatrix}$ $\vec{\Gamma}(P) = P \vec{e}_3 \wedge mg (-\vec{e}_3)$

$\hookrightarrow \vec{L} = I_3 \dot{\phi} \vec{e}_3 \rightarrow \vec{\Gamma}(P) = P \frac{\vec{L}}{I_3 \dot{\phi}} \wedge mg (-\vec{e}_3)$

$$\vec{\Gamma} = \frac{Pmg}{I_3 \dot{\phi}} \vec{e}_3 \wedge \vec{L}$$

Donc l'h.m moment cinétique :

$$\frac{d\vec{L}}{dt} \Big|_R = \vec{\Gamma}(P) = \underbrace{\frac{Pmg}{I_3 \dot{\phi}}}_{\gamma} \vec{e}_3 \wedge \vec{L}$$

9] $\frac{d\vec{L}}{dt} \Big|_R \cdot \vec{L} = 0 = \frac{d||\vec{L}||^2}{dt}$

$$\frac{d\vec{L}}{dt} \Big|_R \cdot \vec{e}_3 = 0 = \frac{d(Lg)}{dt}$$

10] $\frac{d\vec{L}}{dt} \Big|_R + \vec{\Omega}_{R/R_i} \wedge \vec{L} = \gamma \vec{e}_3 \wedge \vec{L}$

si $\vec{\Omega}_{R/R_i} = \gamma \vec{e}_3$

$$\frac{d\vec{L}}{dt} \Big|_{R_i} = \vec{0} \rightarrow \text{de ramire à un pb dans perpendicular.}$$

Notez L'énoncé a écrit "Ri", mais il aurait fallu écrire "Référentiel R tournant quelqueque".

Soit R_i référentiel tournant à la pulsation $\vec{\Omega}_{R/R_i}$ par rapport à R.

Ici le raisonnement est le même qu'à l'ér sur le lhm de Larmor

L'ajout de la pesanteur au pb ne fait que rajouter une rotation de vecteur $\vec{\Omega} = \gamma \vec{e}_3 \rightarrow$ une précession d'axe Oz donc. comme pruv. 16

11 : NB : Un malheureux lapsus lors de la rédaction de l'énoncé a fait écrire le mot "cylindrique" là où je pensais en fait à une loupe "conique". La longueur l au centre de gravité est donc devenue triviale et le moment d'inertie simple à calculer. Ce qui est gd m dommage.

$$I_3 = \iiint \rho(x^2 + y^2) dr \quad \left\{ \begin{array}{l} \rho \text{ constante}, dV = r dr d\theta dz \\ x^2 + y^2 = r^2 \end{array} \right. \rightarrow \text{intégration selon } z$$

$$= 2\pi h \rho \int_0^R r^3 dr$$

$$= \pi \frac{h \rho R^4}{2} \quad \text{et } M = \pi R^2 h \rho$$

$$I_3 = \frac{1}{2} M R^2 \text{ et } \varphi = \frac{h}{2} \Rightarrow \dot{\varphi} = \frac{Pmg}{I_3 \ddot{\varphi}} = \frac{hg}{R^2 \ddot{\varphi}}$$

Donc $T = \frac{2\pi}{\dot{\varphi}} = 2\pi \frac{R \ddot{\varphi}}{hg}$; on a $\ddot{\varphi} = 20 \text{ rad.s}^{-2} = 125,66 \text{ rad.s}^{-2}$

(Ne pas oublier de faire cette conversion!)

$$\boxed{T = 2 s}$$

12 Exemple classique mais joli : on peut calculer que, du fait de la non-sphéricité de la terre, le moment des forces de marée (exercées principalement par la lune et le soleil) sur la terre est non nul \Rightarrow en considérant de plus la rotation de la terre, nous avons là un modèle de loupe déséquilibrée

On voit apparaître une très lente précession de l'axe de rotation de la terre par rapport à l'axe perpendiculaire au plan de l'écliptique

La période est d'environ 25 760 années.